

# Modelos Estadísticos muestreados en tiempos aleatorios

Consistencia del estimador de mínimos cuadrados en modelos muestreados en tiempos aleatorios y dirigidos por un ruido con larga memoria

Soledad Torres

`soledad.torres@uv.cl`

Universidad Central de Chile  
CIMFAV- Universidad de Valparaíso.

November 10, 2024

# Contenidos

- 1 Motivación
- 2 Conceptos previos
  - Modelo con observaciones en tiempos no aleatorios
  - Modelo con observaciones en tiempo aleatorios
- 3 Resultados principales
- 4 Simulación
- 5 Generalizaciones
- 6 Conclusiones

## Motivación

# ¿Por qué estudiar modelos con observaciones muestradas en tiempos aleatorios

- A lo largo de los años y en diferentes áreas de investigación, hemos notado que algunos eventos, como aquellos relacionados con fenómenos financieros, climatológicos y biológicos, entre otros; no ocurren de manera igualmente espaciada

# ¿Por qué estudiar modelos con observaciones muestradas en tiempos aleatorios

- A lo largo de los años y en diferentes áreas de investigación, hemos notado que algunos eventos, como aquellos relacionados con fenómenos financieros, climatológicos y biológicos, entre otros; no ocurren de manera igualmente espaciada
- Hay diferentes maneras de abordar este problema, como las series de tiempo irregularmente espaciadas o considerar que las observaciones son tomadas de manera aleatoria. En este trabajo, profundizaremos en el segundo enfoque.

# ¿Por qué estudiar modelos con observaciones muestradas en tiempos aleatorios

- A lo largo de los años y en diferentes áreas de investigación, hemos notado que algunos eventos, como aquellos relacionados con fenómenos financieros, climatológicos y biológicos, entre otros; no ocurren de manera igualmente espaciada
- Hay diferentes maneras de abordar este problema, como las series de tiempo irregularmente espaciadas o considerar que las observaciones son tomadas de manera aleatoria. En este trabajo, profundizaremos en el segundo enfoque.
- Estamos interesados en observar en un intervalo finito de tiempo, particularmente, nuestras observaciones estarán en el intervalo  $[0, 1]$ .

## Otra característica interesante

- Una manera de explicar la fuerte correlación entre observaciones en un modelo, es representarla a través del exponente de Hurst,  $H$ , que toma valores entre  $[0, 1]$ .

## Otra característica interesante

- Una manera de explicar la fuerte correlación entre observaciones en un modelo, es representarla a través del exponente de Hurst,  $H$ , que toma valores entre  $[0, 1]$ .
  - En particular, la dependencia de largo rango (*long-range dependence*), puede ser observada cuando  $H \in (1/2, 1]$ . Este fenómeno ha sido ampliamente estudiado a lo largo de los años.



## Otra característica interesante

- Una manera de explicar la fuerte correlación entre observaciones en un modelo, es representarla a través del exponente de Hurst,  $H$ , que toma valores entre  $[0, 1]$ .
  - En particular, la dependencia de largo rango (*long-range dependence*), puede ser observada cuando  $H \in (1/2, 1]$ . Este fenómeno ha sido ampliamente estudiado a lo largo de los años.
  - El movimiento Browniano fraccionario (*fractional Brownian motion (fBm)*), es un proceso Gaussiano, con incrementos estacionarios,  $H$ -autosimilar y con la siguiente estructura de covarianza

$$R_H(t_i, t_j) := \mathbb{E} \left[ B_{t_i}^H B_{t_j}^H \right] = \frac{\sigma^2}{2} \left[ |t_i|^{2H} + |t_j|^{2H} - |t_i - t_j|^{2H} \right].$$

- Existen otros procesos que son usados para representar el fenómeno de larga memoria y comparten la misma función de covarianza (a excepción de algunas constantes que dependen del valor de  $H$ ) y que también pueden ser considerados para lo que sigue.

## Trabajos previos

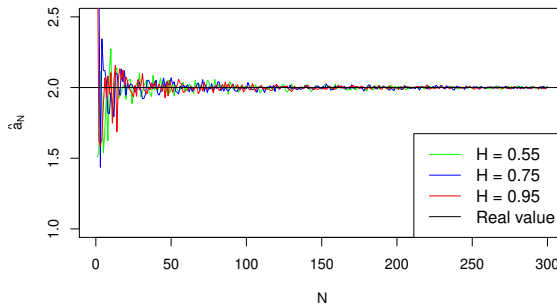
- Cuando las observaciones son muestreadas en tiempos aleatorios, podemos mencionar los trabajos de [2], [1] y [3], en cada uno de ellos el problema de estimación es abordado de un punto de vista no-paramétrico. Otros trabajos, también relacionados con los tiempos aleatorios, [4] y [5], ambos centrados en sistemas computacionales.
- Con respecto a trabajos donde el interés es la estimación paramétrica en series de tiempo que pueden ser representadas como una tendencia más un ruido con larga memoria podemos recordar los trabajos de [6], [7] y [8].

## Conceptos previos

## Modelo simple

Consideremos el siguiente modelo de regresión lineal simple

$$Y_{t_{i+1}} = at_{i+1} + \Delta B_{t_{i+1}}^H, \quad (1)$$



## Modelo simple, con tiempos aleatorios

Consideremos el siguiente modelo de regresión lineal simple

$$Y_{\tau_{i+1}} = a\tau_{i+1} + \Delta B_{\tau_{i+1}}^H, \quad (2)$$

donde  $a \in \mathbb{R}$  es el parámetro de drift (desconocido),  $\Delta B_{\tau_{i+1}}^H = B_{\tau_{i+1}}^H - B_{\tau_i}^H$  y  $\tau := \{\tau_i, 0 \leq i \leq N-1\}$  ó  $\tau := \{\tau_i, 0 \leq i \leq N(1)\}$ .

# Tiempo aleatorio: Jittered case

## Jittered sampling

Observaremos un proceso, en tiempos aleatorios  $\tau$ ,

$$\tau := \{\tau_i, 0 \leq i \leq N-1\},$$

con periodo  $\delta = \frac{1}{N}$  pero contaminado por un ruido aditivo  $\nu$

$$\nu = \{\nu_{i,N}; 0 \leq i \leq N-1\},$$

es una secuencia de variables aleatorias i.i.d. con función de densidad común  $g_N(\cdot)$ , dependiente de  $N$  y con soporte en  $[0, 1/N]$ . Entonces, definiremos

$$\tau_i = \frac{i}{N} + \nu_{i,N}, \quad i = 0, \dots, N-1. \quad (3)$$

Algunas distribuciones que cumplen con la cualidad de  $\nu$  son las distribuciones uniforme, triangular y raised cosine.

# Tiempo aleatorio Renewal case

## Renewal process

Observaremos un proceso, en tiempos aleatorios  $\tau$ ,

$$\tau := \{ \tau_i, 0 \leq i \leq N(1) \},$$

con la diferencia que ahora consideraremos  $N(1)$  (cantidad de observaciones antes de 1). Para este tiempo aleatorio, consideraremos que la sequencia  $\tau$  satisface la propiedad de renovación, es decir

$$\tau_i = \sum_{j=1}^i t_j, \quad i = 1, 2, \dots, \quad (4)$$

donde  $t_j$  son variables aleatorias i.i.d con función de distribución  $G_N(\cdot)$  con soporte en  $[0, \infty)$  y que cumple con las siguientes propiedades

(HR1)  $G_{N,i}$  es absolutamente continua con densidad  $g_{N,i}(\cdot)$  en  $[0, \infty)$ ,

(HR2)  $G_{N,i}(0) = 0$ , y

(HR3)  $\int_0^\infty t dG_{N,i}(t) = N^{-1}$ .

(HR4)  $\int_0^\infty t^2 dG_{N,i}(t) \sim \frac{1}{N^\alpha}$  donde  $\alpha > 1$ .

(HR5)  $\int_0^\infty t^4 dG_{N,i}(t) \sim \frac{1}{N^\beta}$  donde  $\beta > 1$ .

# Comentarios sobre la cantidad de observaciones

- En el caso Jittered, consideramos una cantidad fija de observaciones,  $N$ , porque podemos asegurar que  $\tau_{N-1} < 1$ .
- En el caso Renewal, consideramos una cantidad aleatoria de observaciones,  $N(1)$ , porque no podemos asegurar que  $\tau_N < 1$ . Para este caso debemos considerar  $\tau_{N(1)}$ .



## Resultados principales

# Sobre el estimador de mínimos cuadrados, con una cantidad fija de observaciones

Para estimar el parámetro en el modelo (2), el estimador de mínimos cuadrados es determinado por

$$\hat{a}_N = \frac{\sum_{i=0}^{N-1} \tau_{i+1} Y_{\tau_{i+1}}}{\sum_{i=0}^{N-1} \tau_{i+1}^2}. \quad (5)$$

De (2) and (5), tenemos

$$\hat{a}_N - a = \frac{\sum_{i=0}^{N-1} \tau_{i+1} \Delta B_{\tau_{i+1}}^H}{\sum_{i=0}^{N-1} \tau_{i+1}^2}, \quad (6)$$

y agregando una normalización a (6), obtenemos

$$\hat{a}_N - a = \frac{\frac{1}{N} \sum_{i=0}^{N-1} \tau_{i+1} \Delta B_{\tau_{i+1}}^H}{\frac{1}{N} \sum_{i=0}^{N-1} \tau_{i+1}^2} = \frac{A_N}{D_N}. \quad (7)$$

# Sobre el estimador de mínimos cuadrados, con una cantidad aleatoria de observaciones

Para estimar el parámetro en el modelo (2), el estimador de mínimos cuadrados es determinado por

$$\hat{a}_{N(1)} = \frac{\sum_{i=0}^{N(1)-1} \tau_{i+1} Y_{\tau_{i+1}}}{\sum_{i=0}^{N(1)-1} \tau_{i+1}^2}. \quad (8)$$

De (2) and (5), tenemos

$$\hat{a}_{N(1)} - a = \frac{\sum_{i=0}^{N(1)-1} \tau_{i+1} \Delta B_{\tau_{i+1}}^H}{\sum_{i=0}^{N(1)-1} \tau_{i+1}^2}, \quad (9)$$

y agregando una normalización a (6), obtenemos

$$\hat{a}_{N(1)} - a = \frac{\frac{1}{N} \sum_{i=0}^{N(1)-1} \tau_{i+1} \Delta B_{\tau_{i+1}}^H}{\frac{1}{N} \sum_{i=0}^{N(1)-1} \tau_{i+1}^2} = \frac{A_{N(1)}}{D_{N(1)}}. \quad (10)$$

## Lema: convergencia del denominador

### Lema, caso Jittered

Sea  $D_N$  definido por (7). Si  $\tau_{i+1}$  satisface (3) , entonces

$$D_N \xrightarrow[N \rightarrow \infty]{a.s.} \frac{1}{3} \quad (11)$$

### Lema, caso Renewal

Sea  $D_{N(1)}$  definido por (10). Si  $\tau_{i+1}$  satisface (4), entonces

$$D_{N(1)} \xrightarrow[N \rightarrow \infty]{a.s.} \frac{1}{3} \quad (12)$$

## Esquema para la prueba

- Jittered case: notando que

$$D_N = \frac{1}{N} \sum_{i=0}^{N-1} \left( \frac{i^2}{N^2} + \frac{2i\nu_{i,N}}{N} + \nu_{i,N}^2 \right)^2$$

entonces, se estudia la convergencia con técnicas usuales. (convergencia en  $L^2$  + Borel Cantelli).

- Renewal case: Reemplazamos  $N(1)$  por  $N$  y transformamos  $D_N$  a una forma cuadrática en función de los valores de  $t_i$ , es decir

$$D_N = \frac{1}{N} \sum_{i=1}^N \sum_{j=1}^N (N - (i \vee j) + 1) t_i t_j,$$

luego se propone una descomposición de acuerdo [?], para estudiar la convergencia de cada término.

# Teoremas

## Teorema, caso Jittered

Sea  $\tau$  definidor por (3). Entonces el estimador (5) es fuertemente consistente, es decir,

$$\hat{a}_N \xrightarrow[N \rightarrow \infty]{a.s.} a.$$

## Teorema, caso Renewal

Sea  $\tau$  definidor por (4). Entonces el estimador (8) es fuertemente consistente, es decir,

$$\hat{a}_{N(1)} \xrightarrow[N \rightarrow \infty]{a.s.} a.$$

## Esquema de la demostración

La base de la demostración es la descomposición de  $\mathbb{E} [A_N^2]$ .

$$\begin{aligned}
 \mathbb{E} [A_N^2] &= \mathbb{E} \left[ \frac{1}{N^2} \sum_{i=0}^{N-1} \tau_i^2 \left( B_{\tau_{i+1}}^H - B_{\tau_i}^H \right)^2 \right] \\
 &+ \mathbb{E} \left[ \frac{1}{N^2} \sum_{0 \leq i, j \leq N-1; |i-j|=1} \tau_i \tau_j \left( B_{\tau_{i+1}}^H - B_{\tau_i}^H \right) \left( B_{\tau_{j+1}}^H - B_{\tau_j}^H \right) \right] \\
 &+ \mathbb{E} \left[ \frac{1}{N^2} \sum_{0 \leq i, j \leq N-1; |i-j| \geq 2} \tau_i \tau_j \left( B_{\tau_{i+1}}^H - B_{\tau_i}^H \right) \left( B_{\tau_{j+1}}^H - B_{\tau_j}^H \right) \right] \\
 &:= \mathbb{E} [A_N^{(1)}] + \mathbb{E} [A_N^{(2)}] + \mathbb{E} [A_N^{(3)}], \tag{13}
 \end{aligned}$$

además del condicionamiento adecuado.

# Esquema de la demostración

**Jittered:** Probamos que el orden de convergencia, de los dos primeros términos, en (13) es de  $N^{1+2H}$  y del tercer término es de  $N^{2H}$ , por lo tanto obtenemos la convergencia casi segura.

**Renewal:**

- 1 Estudiamos la convergencia  $|N(1) - N|$ .
- 2 Estudiamos la convergencia de  $\hat{a}_N$ .
- 3 Estudiamos  $|\hat{a}_{N(1)} - \hat{a}_N|$ .



## Simulación

## Jittered case: Distribución uniforme

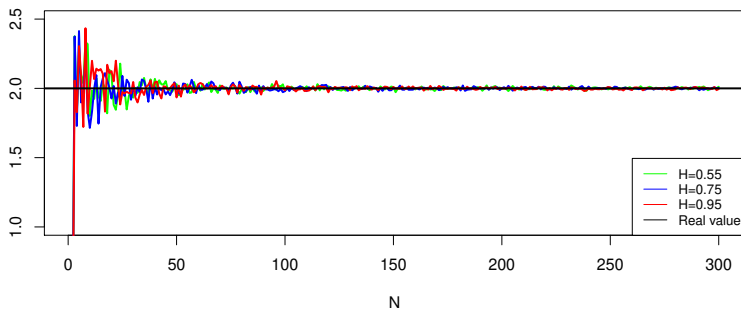


Figure: Convergencia del estimador  $\hat{a}_N$  para diferentes valores de  $N$

## Jittered case: Distribución uniforme

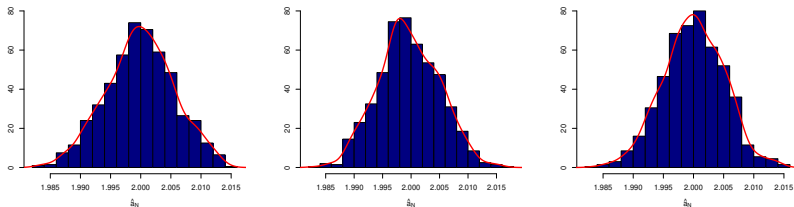


Figure: Distribución del valor del estimador  $\hat{a}_N$  para distintos valores de  $H = 0.55, 0.75, 0.95$

## Jittered case: Distribución triangular

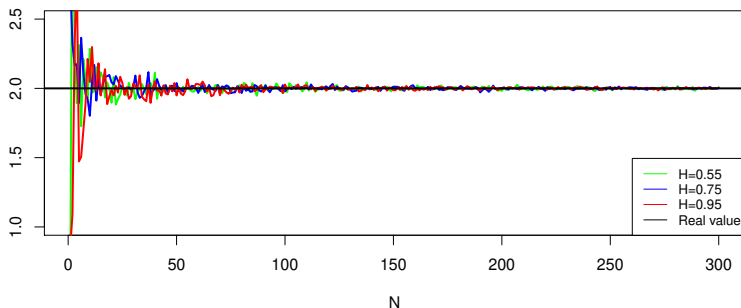


Figure: Convergencia del estimador  $\hat{a}_N$  para diferentes valores de  $N$

## Jittered case: Distribución triangular

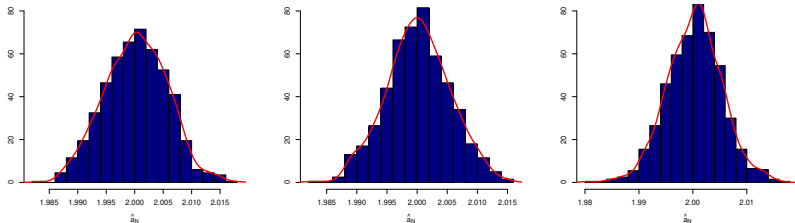


Figure: Distribución del valor del estimador  $\hat{a}_N$  para distintos valores de  $H = 0.55, 0.75, 0.95$

# Renewal case: Distribución exponencial

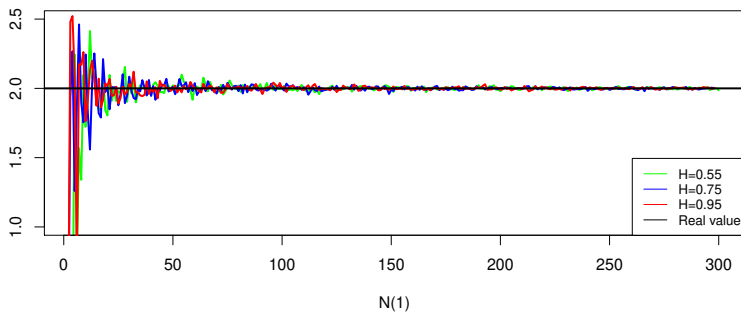


Figure: Convergencia del estimador  $\hat{a}_N$  para diferentes valores de  $N$

# Renewal case: Distribución exponencial

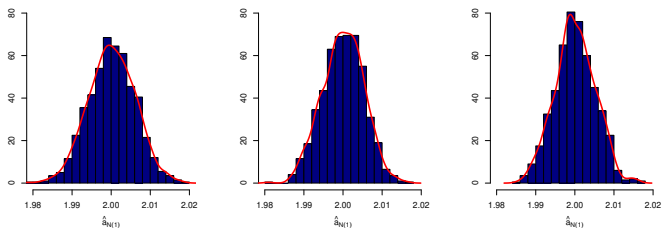


Figure: Distribución del valor del estimador  $\hat{a}_N$  para distintos valores de  $H = 0.55, 0.75, 0.95$

## Renewal case: Distribución Beta prime

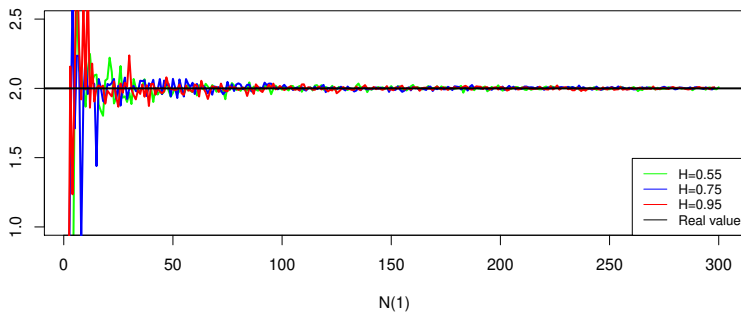


Figure: Convergencia del estimador  $\hat{a}_N$  para diferentes valores de  $N$



# Renewal case: Distribución Beta prime

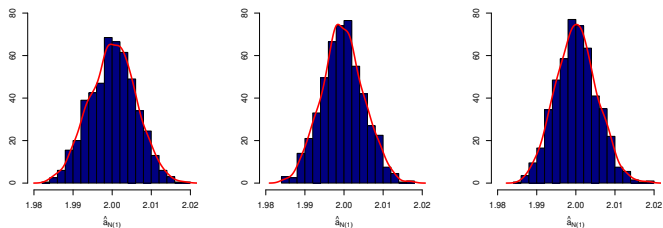


Figure: Distribución del valor del estimador  $\hat{a}_N$  para distintos valores de  $H = 0.55, 0.75, 0.95$

## Generalizaciones

## Caso "negatively superadditive dependent random observations"

- En [11] se generaliza el estudio de la consistencia  
Un vector aleatorio  $(X_1, X_2, \dots, X_m)$  se dice que tiene una dependencia negativamente superaditiva si para toda función superaditiva  $\phi$  tal que su esperanza  $\mathbb{E}\phi(X_1, X_2, \dots, X_m)$  existe,

$$\mathbb{E}\phi(X_1, X_2, \dots, X_m) \leq \mathbb{E}\phi(X_1^*, X_2^*, \dots, X_m^*),$$

donde  $X_1^*, X_2^*, \dots, X_m^*$  son independientes y para todo  $1 \leq i \leq m$ ,  $X_i$  and  $X_i^*$  tienen la misma distribución (NSD).

## Caso "negatively superadditive dependent random observations"

- En [11] se generaliza el estudio de la consistencia  
Un vector aleatorio  $(X_1, X_2, \dots, X_m)$  se dice que tiene una dependencia negativamente superaditiva si para toda función superaditiva  $\phi$  tal que su esperanza  $\mathbb{E}\phi(X_1, X_2, \dots, X_m)$  existe,

$$\mathbb{E}\phi(X_1, X_2, \dots, X_m) \leq \mathbb{E}\phi(X_1^*, X_2^*, \dots, X_m^*),$$

donde  $X_1^*, X_2^*, \dots, X_m^*$  son independientes y para todo  $1 \leq i \leq m$ ,  $X_i$  and  $X_i^*$  tienen la misma distribución (NSD).

- Ejemplos

$$g(x) = |\Sigma|^{-1/2} g\left(x^t \Sigma x\right), \quad x \in \mathbb{R}^m$$

son NSD, con  $\Sigma = (\sigma_{i,j})$  satisface  $\sigma_{i,j} < 0$  for  $i \neq j$  y  $\int_0^\infty g(t) t^{m/2-1} dt < \infty$ . Como consecuencia un vector aleatorio gausiano con matriz de covarianza  $\Sigma = (\sigma_{i,j})$  que satisface  $\sigma_{i,j} < 0$  para  $i \neq j$  es NSD.

## Caso "negatively superadditive dependent random observations"

Nuestra hipótesis sobre los tiempos  $t_i$  es la siguiente.

## Caso "negatively superadditive dependent random observations"

Nuestra hipótesis sobre los tiempos  $t_i$  es la siguiente.

( $H_3$ ) Para todo  $m \in \mathbb{N}$  (y  $N$ ), el vector  $(t_1, \dots, t_m)$  es NSD.

- Note que ( $H_1$ ) y ( $H_3$ ) implican para  $i \neq j$ ,

$$\mathbb{E}(t_i t_j) \leq \frac{1}{N^2}.$$

$$\mathbb{E}(t_i^2) \leq \frac{\tilde{C}^{2/(2+r)}}{N^2}.$$

- Para construir v.a. no-negativas NSD. tomamos  $(X_1, \dots, X_m)$  NSD y una función no decreciente  $\varphi : \mathbb{R} \rightarrow \mathbb{R}_+$ . Entonces  $(\varphi(X_1), \dots, \varphi(X_m))$  es no negativa y NSD.

## Caso "negatively superadditive dependent random observations"

Nuestra hipótesis sobre los tiempos  $t_i$  es la siguiente.

( $H_3$ ) Para todo  $m \in \mathbb{N}$  (y  $N$ ), el vector  $(t_1, \dots, t_m)$  es NSD.

- Note que ( $H_1$ ) y ( $H_3$ ) implican para  $i \neq j$ ,

$$\mathbb{E}(t_i t_j) \leq \frac{1}{N^2}.$$

$$\mathbb{E}(t_i^2) \leq \frac{\tilde{C}^{2/(2+r)}}{N^2}.$$

- Para construir v.a. no-negativas NSD. tomamos  $(X_1, \dots, X_m)$  NSD y una función no decreciente  $\varphi : \mathbb{R} \rightarrow \mathbb{R}_+$ . Entonces  $(\varphi(X_1), \dots, \varphi(X_m))$  es no negativa y NSD.

## Conclusiones



## Conclusiones de este trabajo

- En un modelo de regresión lineal simple, tanto para tiempos no aleatorios como aleatorios, con un ruido con larga memoria, la consistencia del estimador es alcanzada.







## Conclusiones de este trabajo

- En un modelo de regresión lineal simple, tanto para tiempos no aleatorios como aleatorios, con un ruido con larga memoria, la consistencia del estimador es alcanzada.
- Teórica y empíricamente, los estimadores son consistentes.






## Conclusiones de este trabajo

- En un modelo de regresión lineal simple, tanto para tiempos no aleatorios como aleatorios, con un ruido con larga memoria, la consistencia del estimador es alcanzada.
- Teórica y empíricamente, los estimadores son consistentes.
- Considerar un esquema de muestreo aleatorio para la manera en que las observaciones es, en algunas ocasiones, un escenario más realista y las estimaciones propuestas en este trabajo tienen buenas propiedades .

# References I

-  Vilar, J. A., & Vilar, J. M. (2000). Finite sample performance of density estimators from unequally spaced data. *Statistics & probability letters*, 50(1), 63-73.
-  Vilar, J. A. (1995). Kernel estimation of the regression function with random sampling times. *Test*, 4, 137-178.
-  Masry, E. (1983). Probability density estimation from sampled data. *IEEE Transactions on Information Theory*, 29(5), 696-709.
-  Chang, C. C. (2014). Optimum preventive maintenance policies for systems subject to random working times, replacement, and minimal repair. *Computers & Industrial Engineering*, 67, 185-194.
-  Zhao, X., Chen, M., & Nakagawa, T. (2014). Optimal time and random inspection policies for computer systems. *Applied Mathematics & Information Sciences*, 8(1L), 413-7.
-  Baillie, R. T., & Chung, S. K. (2002). Modeling and forecasting from trend-stationary long memory models with applications to climatology. *International Journal of Forecasting*, 18(2), 215-226.

## References II

-  Brockwell, A. E. (2007). Likelihood-based Analysis of a Class of Generalized Long-Memory Time Series Models. *Journal of Time Series Analysis*, 28(3), 386-407.
-  Lobato, I. N., & Velasco, C. (2000). Long memory in stock-market trading volume. *Journal of Business & Economic Statistics*, 18(4), 410-427.
-  Araya, H., Bahamonde, N., Fermn, L., Roa, T. and Torres, S. On the cinsistency of the least squares estimator in models sampled at random times driven by long memory noise: the renewal case *Statistica Sinica* 33 (2023), 1-26  
doi:<https://doi.org/10.5705/ss.202020.0457>
-  Araya, H., Bahamonde, N., Fermn, L., Roa, T. and Torres, S. On the cinsistency of the least squares estimator in models sampled at random times driven by long memory noise: the jittered case *Statistica Sinica* 33 (2023), 1-21  
doi:<https://doi.org/10.5705/ss.202020.0323>
-  Bertin, K., Torres, S., & Viitasaari, L. (2021). Least-square estimators in linear regression models under negatively superadditive dependent random observations. *Statistics*, 55(5), 1018–1034.  
<https://doi.org/10.1080/02331888.2021.1993854>